

Демиденко О.М., Быченко О.В., Максимей И.В., Агеенко И.В.

## ИМИТАЦИОННОЕ МОДЕЛИРОВАНИЕ ВЫЧИСЛИТЕЛЬНОГО ПРОЦЕССА В ЛОКАЛЬНЫХ ВЫЧИСЛИТЕЛЬНЫХ СЕТЯХ С РАСПРЕДЕЛЕННОЙ БАЗОЙ ДАННЫХ

*В качестве объекта имитации выбран вычислительный процесс (ВП) с распределенной информационной базой (РИБД). Излагаются принципы формализации ВП и рабочей нагрузки (РН) на локальную вычислительную сеть (ЛВС). Сформулирована методика реализации имитационных моделей (ИМ) ВП и РН на ЛВС. Приведены результаты апробации ИМ.*

**Введение.** Моделированию организации ЛВС посвящено много внимания [1, 2, 4]. Чаще всего используются аналитические модели ВП и РН на ЛВС. При этом решаются задачи оптимального выбора маршрутов транспортировки данных по сети. Но результаты подобных исследований зачастую далеки от реальных. Это обусловлено тем, что из рассмотрения выпали следующие два важных фактора, влияющие на ВП и РН на ЛВС. Во-первых, не учитывается конкуренция запросов пользователей за ресурсы ЛВС. Во-вторых, не учитывается влияние распределенной РИБД на параметры ВП и РН на ЛВС. Кроме того, известно, что реализация алгоритмов маршрутизации и обслуживания транзитных запросов использует не более 10% от общего ресурса ЛВС. Очевидно, что при таком удельном весе расхода ресурсов сети на организацию режима обслуживания транзитных запросов по сети трудно рассчитывать на реальные прогнозы загрузки ЛВС и качества обслуживания пользователей в фоновом и диалоговом режимах взаимодействия с ЛВС. Вышеизложенное убеждает в необходимости повышения уровня детализации ВП в ЛВС при проектном моделировании вариантов организации ЛВС.

Вторым важным аспектом проектного моделирования ВП на высоком уровне детализации является необходимость учета состава, структуры и связей задач пользователей при наличии распределенной информационной базы данных (РИБД). Запросы программных модулей (ПМ<sub>j</sub>) к РИБД имеют стохастический характер и последовательность их видов и запросы на размеры обрабатываемой или используемой информации из РИБД могут колебаться в широких пределах. Зачастую эти запросы на данном уровне детализации ВП могут образовывать цепочки ПМ<sub>j</sub>, использующих различные модули РИБД. Это обстоятельство существенным образом влияет на ВП и РН на ЛВС. Поэтому исследование зависимостей характеристик ВП от размеров и структуры РИБД является весьма актуальным. В данной работе приводятся некоторые результаты подобного исследования при статистически стабильной РН на ЛВС.

**Содержательное описание ВП и РН на ЛВС с распределенной ИБД.** Объектом исследования является программно-технологический комплекс информационного предприятия (ИП), представляющий собой реализацию автоматизированной информационной системы (АИС) на типовой ЛВС с РИБД. Структура АИС определяет состав программных компонент (операционную систему и задачи пользователей). Оборудование включало в себя: центральный процессор (ЦП), внешнюю память (ВНП), оперативную память (ОП), периферийные устройства и связное оборудование сети. Задачи пользователей состоят из программных модулей (ПМ<sub>j</sub>),  $j=1,6$ . Функционирование задач пользователей представляется в виде графа GRM, состоящего из нескольких подграфов GR<sub>l</sub> (по числу узлов ЛВС,  $l$  – номер узла ЛВС). Узлами GR<sub>l</sub> являются ПМ<sub>j</sub>, а вероятности передачи управления между модулями задаются матрицей переходов (MP<sub>jj+1</sub>). РИБД является важнейшей компонентной АИС и представляется в виде другого графа (GRB<sub>l</sub>), узлами которого являются модули РИБД (MDk<sub>l</sub>), а дуги между ними определяют связи между MDk<sub>l</sub>. Структура этих связей задается булевой матрицей MSk<sub>l</sub>.

ВП в ЛВС организуется следующим образом. ЦП узлов ЛВС и сервера являются местами выполнения ПМ<sub>j</sub> и программ ОС. Выполнением ПМ<sub>j</sub> управляет ОС узлов ЛВС,

организуя их очереди к ЦП и реализуя дисциплину взаимодействия ПМ<sub>j</sub> с MDk<sub>l</sub>. Рассматривался вариант, когда РИБД ЛВС размещается в узлах ЛВС. Причем, РИБД каждого узла размещается во ВНП<sub>l</sub>. Поэтому процесс взаимодействия любого ПМ<sub>j</sub> с ВНП<sub>l</sub> описывается как обращение к MDk<sub>l</sub>, подразумевая их как единое целое (РИБД и ВНП). Ресурс ОП выделяется полностью запросу пользователя i-го типа, обслуживаемому соответствующим ПМ<sub>j</sub> в течение некоторого временного интервала (t<sub>обсij</sub>). Доступ запросов пользователей к устройствам вывода l-го узла осуществляется соответствующим ПМ<sub>j</sub> и реализуется также в течение соответствующего интервала времени (t<sub>обсij</sub>).

РН на входе узлов ЛВС считаем однотипной и статистически неизменной в ходе исследования ВП. Неизменным также предполагаем состав оборудования узла ЛВС.

В ходе исследования в качестве управляющих параметров ВП и РН на ЛВС использовались:

(λ<sub>Фl</sub>, λ<sub>дl</sub>, λ<sub>тl</sub>) – вектор интенсивностей поступления запросов пользователей на обработку информации из РИБД ЛВС;

θ<sub>p<sub>l</sub></sub> – скорость обработки информации ЦП l-го рабочего узла;

θ<sub>s</sub> – скорость работы ЦП сервера, являющегося одновременно и рабочим узлом;

STR<sub>l</sub> – структура базы данных l-го узла ЛВС.

Три компоненты вектора интенсивностей поступления запросов пользователей задают РН для трех режимов обработки информации из РИБД при реализации ВП в ЛВС. Каждый тип РН определяет поток запросов пользователей соответственно в фоновом, диалоговом и транзитном режимах обработки ПМ<sub>j</sub> информации, извлекаемой из соответствующих модулей РИБД. Обработка информации в узлах ЛВС осуществляется ПМ<sub>j</sub>, обслуживающих различные запросы пользователей, в режиме многозадачности. Скорости ЦП задаются в виде коэффициентов, на которые делятся значения интервалов работы модулей t<sub>обсij</sub>, если ЦП узла или сервера ЛВС имеет скорость, отличную от скорости обработки информации ЦП IBM 486. Структура РИБД задается: количеством (m) и типами модулей РИБД (k), объемом информации в РИБД (V<sub>ИБДl</sub>), временем обработки ПМ<sub>j</sub> единицы информации (τ<sub>обсjk</sub>), матрицей вероятностей передачи управления между MDk<sub>l</sub> во время обработки одного запроса пользователя в диалоговом и транзитном режимах обработки информации в узлах ЛВС (MSk<sub>l</sub>).

Характеристики времен выполнения ОС запросов ПМ<sub>j</sub> и времена обработки ПМ<sub>j</sub> запросов пользователей i-го типа задаются функцией распределения F(t<sub>обсij</sub>) и матрицей вероятностей передачи управления между ПМ<sub>j</sub> (MP<sub>jj+1</sub>). Качество организации ВП оценивалось вектором интегральных и дифференциальных статистик функционирования компонентов ЛВС:

η<sub>ВНПl</sub> и η<sub>ЦПl</sub> – коэффициент загрузки ВНП и ЦП l-го узла ЛВС;

η<sub>ПМj</sub>, l<sub>очj</sub>, t<sub>ожj</sub> – коэффициент загрузки ЦП, средняя длина очереди и среднее время ожидания запросов пользователей к ПМ<sub>j</sub> на l-ом узле ЛВС.

Качество обслуживания запросов пользователей оценивалось реaktivностью узла ЛВС на запросы пользователей вектором интегральных статистик функционирования l-го узла ЛВС:

T<sub>Фl</sub> – среднее время обслуживания ЛВС запросов пользователей l-го узла в фоновом режиме;

T<sub>дl</sub> – среднее время ответа ЛВС на запросы пользователей l-го узла в диалоговом режиме взаимодействия.

Формировались 3 группы статистик характеризующие:

1. Загрузку ЦП рабочих узлов и сервера от характеристик вектора управляемых параметров ВП (UP):

$$\eta_{ПМj}=\varphi_1(UP); \quad \eta_{ЦПl}=\varphi_2(UP); \quad (1)$$

$$l_{очj}=\varphi_3(UP); \quad t_{ожj}=\varphi_4(UP).$$

2. Использование РИБД от тех же управляемых параметров ВП:

$$\eta_{ВНПl}=\varphi_5(UP). \quad (2)$$

3. Качество обслуживания запросов пользователей от управляемых параметров ВП:

$$T_{Фl}=\psi_1(UP); \quad T_{дl}=\psi_2(UP); \quad T_{тr}=\psi_3(UP). \quad (3)$$

Вектор управляемых параметров исследования состоял из следующих компонентов:

$$UP=(\lambda_{Фl}, \lambda_{дl}, \lambda_{тl}, \theta_{p<sub>l</sub>}, \theta_s, V_{ИБДl}, MSk<sub>l</sub>). \quad (4)$$

Поскольку организовать полный факторный имитационный эксперимент (ИЭ), варьируя все компоненты, довольно ресурсоемко, был применен способ исследования целевых функций (1) – (3) секущими плоскостями. Таким образом, фиксировалась одна группа компонентов вектора (4) их значениями в серединной точке области изменения в пространстве параметров ИМ ВП и РН на ЛВС.

**Формальное представление ВП и РН на ЛВС.** АИС, взаимодействуя с РИБД, решает задачи, связанные с вводом, обработкой и анализом больших объемов информации. Чтобы имитировать на ЭВМ выполнение любого запроса пользователя все задачи пользователей декомпозированы на множество ПМ<sub>j</sub>.

Для i-го типа запросов пользователей реализуется своя проблемно-ориентированная задача, задаваемая графом GRMi<sub>l</sub> ( $i=1,6$ ;  $l=1,3$ ). Этот граф характеризуется постоянными на время постановки ИЭ параметрами:  $F(t_{\text{обс}ij})$ ;  $MP_{jj+1}$ ;  $MSk_l$ . Время обслуживания запроса i-го пользователя от ПМ<sub>j</sub> к РИБД является функцией следующих параметров и переменных модели:

$$\tau_{\text{обс}jk} = \Phi_i(V_{\text{ПМ}ij}, V_{\text{БД}l}, MSk_l, \Omega_{\text{ПМ}ij}), \quad (5)$$

где  $V_{\text{ПМ}ij}$  и  $V_{\text{БД}l}$  – соответственно объем ОП и НБД, к которой обращается ПМ<sub>j</sub>;  $MSk_l$  – матрица вероятностей связей модулей РИБД друг с другом;  $\Omega_{\text{ПМ}ij}$  – набор функциональных операций (ФО), выполняемых ПМ<sub>j</sub> в РИБД.

Для каждого ПМ<sub>j</sub> имеется свой набор ФО по запросам пользователя i-го типа и в ИМ они определяются в виде вектора со следующими компонентами:

$$\Omega_{\text{ПМ}ij} = (K_{oi_l}, \tau_{\text{обв}j}, \tau_{\text{рез}j}),$$

где  $K_{oi_l}$  – количество обращений к РИБД;  $\tau_{\text{обв}j}$  и  $\tau_{\text{рез}j}$  – времена использования ПМ<sub>j</sub> РИБД и обращения ПМ<sub>j</sub> к другому ресурсу узла ЛВС.

Таким образом, АИС в интеграле создает РН на ЛВС, которая представляет собой поток задач, каждая из которых представляется в виде графа, узлами которого являются ПМ<sub>j</sub>, а дуги определяются в динамике имитации ВП на основе приведенных выше параметров ВП и РН.

При обращении к РИБД каждый ПМ<sub>j</sub> резервирует весь объем РИБД (даже если он обращается к одному MDkl). Поскольку моделируется поток запросов пользователей (ZP), которому соответствует свой поток задач, то в этом потоке каждый ПМ<sub>j</sub> у разных задач может обращаться к одной и той же РИБ. Это означает, что к РИБД образуются очереди запросов ПМ<sub>j</sub>. Кроме того, при работе ПМ<sub>j</sub> с РИБД может потребоваться информация из других MDkl. Поэтому запросы ПМ<sub>j</sub> становятся в очереди к РИБД. Размещение РИБД в ЛВС возможно различным способом. Мы исходили из следующего предположения: на сервере размещается одна или несколько РИБД общего пользования и к ним обращаются задачи с разных узлов ЛВС; на узлах ЛВС размещаются специализированные РИБД, с которыми работают пользователи данного узла ЛВС. Однако, при необходимости возможны запросы пользователей одного узла к РИБД других узлов ЛВС. Это означает, что по сети курсируют транзитные запросы удаленных пользователей либо к РИБД, расположенной на сервере либо к РИБД других (рабочих) узлов ЛВС.

**Реализация и испытание ИМ ВП и РН на ЛВС.** В качестве средства реализации ИМ ВП и РН на ЛВС с РИБД использовалась система моделирования (СМ) MICIC [3]. Характеристики структуры задач пользователей ( $F(t_{\text{обс}ij})$ ;  $MP_{jj+1}$ ;  $MSk_l$ ) были заданы на основе экспертных данных, определенных согласно методики, изложенной в работе [4]. Состав РН на ЛВС определяли также значения еще двух характеристик поведения диалогового пользователя: интервал времени обдумывания пользователем результатов ( $\tau_{\text{обд}}$ ) и количество источников требований диалогового режима ( $n_d$ ). В нашем исследовании было принято, что  $\tau_{\text{обд}}=30$  сек,  $n_d=5$ .

Блок-схема ИМ ВП и РН на ЛВС представлена на рис.1. Как видно из рис.1, ИМ ВП и РН на ЛВС состоит из двух рабочих узлов и сервера. Связи между моделями РИБД задаются с помощью матриц  $MSk_l$ . Первые два узла ( $l=1,2$ ) являются рабочими, а узел 3 представляет собой одновременно и рабочий узел и сервер ЛВС. Отметим, что транзитные запросы в ИМ

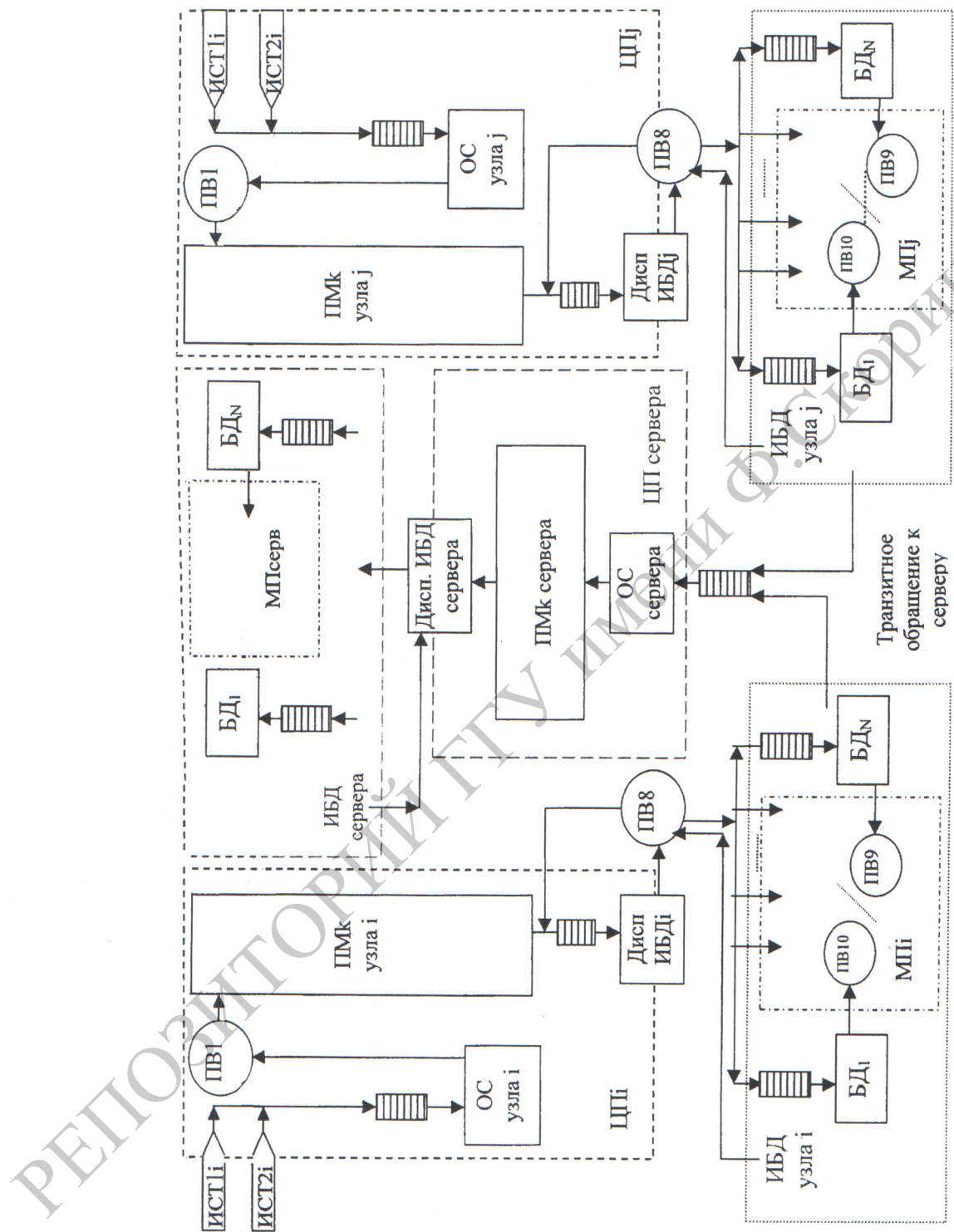


Рис. 1. . Блок-схема имитационной модели сети ЭВМ с распределенной ИБД (МПи – матрица переходов  $i$ -го узла)

формируются по запросам диалоговых пользователей в тех случаях, когда необходимый ПМј модуль РИБД находится в соседнем узле ЛВС.

Верификация, испытание и исследование свойств ИМ ВП и РН на ЛВС с РИБД осуществлялись согласно методики, изложенной в [5]. Ниже приведены основные выводы, полученные в результате реализации этой методики к данной ИМ. Полный состав статистик моделирования при апробации данной ИМ приведен в работе [4].

Было установлено, что точность имитации ВП и РН не превышала 10%. Длительность переходного режима имитации  $T_{\text{пп}}=8000$  сек при времени моделирования  $T_{\text{мод}}=40000$  сек. Доказана также устойчивость режима имитации, поскольку по всем откликам ИМ ВП и РН на ЛВС имеют тенденцию сходимости и отсутствует рост амплитуды отклика даже при четырехкратном увеличении  $T_{\text{мод}}$ . Установлена иерархия чувствительности откликов модели к изменениям интенсивностей РН на входе ЛВС.

Проверка адекватности ИМ ВП и РН на ЛВС с РИБД не проводилась поскольку реальная ЛВС находилась на стадии проектирования и отсутствовал предмет сравнения с результатами имитации. Вместо этого осуществлялся поиск рабочей области исследований согласно методики, изложенной в работе [4]. Для каждого варианта организации ВП и РН на ЛВС определялись диапазоны изменения компонент вектора интенсивностей ( $\lambda_{\Phi}, \lambda_{\Delta}$ ). Вначале была проведена серия "затравочных" ИЭ по определению диапазонов изменения компонент вектора ( $\lambda_{\Phi}, \lambda_{\Delta}$ ) при разных сочетаниях скоростей ЦП рабочих узлов сервера ( $\vartheta_{pl}, \vartheta_s$ ). По результатам этих исследований были сделаны следующие выводы.

1. С ростом скоростей ЦП ( $\vartheta_{pl}$  и  $\vartheta_s$ ) происходит перераспределение влияния факторов интенсивностей запросов пользователей. При малых значениях  $\vartheta_{pl}$  и  $\vartheta_s$  определяющим фактором является  $\lambda_{\Phi}$ , а затем при больших  $\vartheta_{pl}$  и  $\vartheta_s$  уже фактор  $\lambda_{\Delta}$  становится определяющим.
2. При равенстве скоростей  $\vartheta_{pl}=\vartheta_s=1,0$  достигается максимальная чувствительность откликов ИМ к вариациям компонент вектора интенсивностей ( $\lambda_{\Phi}, \lambda_{\Delta}$ ). Это наименее сбалансированный вариант организации ВП в ЛВС с РИБД.
3. При соотношении скоростей  $\vartheta_s=2,0$  и  $\vartheta_{pl}=1,0$  достигается необходимая сбалансированность скоростей поступления запросов со скоростью их обслуживания в ЛВС с РИБД.

**Исследование ВП в ЛВС с РИБД, состоящей из трех узлов.** Для исследования была выбрана простейшая ЛВС, но сохраняющая особенности ЛВС любого размера. ЛВС состояла из трех узлов: сервера и двух рабочих узлов. РИБД ЛВС соответственно была рассредоточена по этим узлам. Причем, графы связей модулей РИБД каждого рабочего узла ЛВС были одинаковыми. Предполагалось, что на сервере расположены общие РИБД, но с той же структурой связей модулей РИБД. Для отображения конкуренции запросов пользователей ЛВС на получение информации, расположенной на рабочих узлах и сервере, достаточно двух рабочих узлов и сервера. При такой конфигурации ЛВС имелась возможность отобразить динамику образования транзитных запросов пользователей к соседнему узлу ЛВС и к серверу за информацией из РИБД.

Значения компонент вектора интенсивностей, запросов пользователей к ЛВС у каждого узла были одинаковы и фиксировались в центре найденной рабочей области ( $\lambda_{\Phi_0}, \lambda_{\Delta_0}$ ). Размеры РИБД узлов ЛВС и сервера (в условных единицах) менялись на трех уровнях (200 - малый, 2000 - средний, 20000 - большой). Структуры графов связей ПМј друг с другом и графов связей МДк<sub>l</sub> друг с другом были также фиксированы соответствующими матрицами МР<sub>jj+1</sub> и MSk<sub>l</sub>. Для каждого размера РИБД было проведено по 9 вариантов ИЭ сочетания скоростей ЦП ( $\vartheta_{pl}$  менялась на трех уровнях:  $\vartheta_{pl}=0,66; \vartheta_{pl}=1,0; \vartheta_{pl}=2,0$ .  $\vartheta_s$  также менялся на трех уровнях:  $\vartheta_s=1,0; \vartheta_s=2,0; \vartheta_s=4,0$ ). Таким образом, был проведен имитационный эксперимент (ИЭ) из 27 вариантов соотношения трех параметров ( $\vartheta_{pl}, \vartheta_s, V_{\text{ИБД}}$ ) при фиксированных значениях остальных параметров в серединной точке пространства параметров ИМ ВП и РН на ЛВС с РИБД. В качестве откликов ИЭ использовались значения интегральных статистик имитации, усредненные по 10 «прогонам» ИМ с одними и теми же исходными данными для имитации ВП

и РН, но с разными значениями базового генератора псевдослучайных чисел ( $\xi_m$ ;  $m=1,10$ ). То есть использовался метод Монте-Карло при постановке ИЭ.

На основании интегральной статистики имитации по каждому варианту сечения управляющих параметров ИМ был проведен выбор рационального варианта организации ВП и РН на ЛВС с РИБД, позволивший установить, что организацию ВП в ЛВС с РИБД при заданной структуре задач и связях между модулями РИБД можно считать рациональной, если:  $\vartheta_p=1,0$ ;  $\vartheta_s=2,0$ ;  $V_{IBD}=2000$ ;  $V_{IBDs}=2000$ . По результатам серии ИЭ можно сделать следующие выводы.

1. Коэффициент загрузки ЦП рабочих узлов ( $\eta_{CPI}$ ) меняется в широких диапазонах при варьировании  $\vartheta_{pl}$ . Например, при увеличении  $\vartheta_{pl}$  в три раза  $\eta_{CPI}$  линейно падает в 4 раза. При этом  $\vartheta_s$  и  $V_{IBD}$  оказывают незначительное влияние на  $\eta_{CPI}$ .

2. Загрузка внешней памяти сервера ( $\eta_{VNPZ}$ ) безусловно зависит от размера РИБД ( $V_{IBDz}$ ) и от матриц связей MSkl. При малом значении  $V_{IBDz}$  зависимость  $\eta_{VNPZ}=\Phi_5(V_{IBDz})$  практически линейна при варьировании  $\vartheta_{pl}$  и  $\vartheta_s$ . Причем, само значение  $\eta_{VNPZ}$  существенно возрастает при росте  $V_{IBDz}$  от малого до большого размера.

3. Коэффициент загрузки ЦП сервера ( $\eta_{CPZ}$ ) при  $\vartheta_{pl}=1,0$  имеет максимум. При малых  $\vartheta_{pl}$  интенсивность запросов к РИБД от рабочих узлов небольшая, что приводит к падению значений  $\eta_{CPZ}$ . Для больших  $\vartheta_{pl}$  снижение  $\eta_{CPZ}$  происходит из-за того, что сами ЦП рабочих узлов приступают и интенсивность заказов от них к серверу падает.

4. Коэффициент загрузки внешней памяти ( $\eta_{VNP}$ ) рабочих узлов также существенно зависит от  $V_{IBD}$ . Интересен факт противоположного изменения  $\eta_{VNP}$  при изменении  $\vartheta_{pl}$  для среднего и большого объемов РИБД.

5. Времена обслуживания фоновых запросов ( $T_{fI}$ ) существенно зависят от параметров  $\vartheta_{pl}$ . Так с ростом  $\vartheta_{pl}$  происходит экспоненциальное падение  $T_{fI}$ . Причем на величину  $T_{fI}$  параметр  $V_{IBD}$  практически не оказывает влияния. Фактор  $\vartheta_s$  также практически не оказывает влияние на  $T_{fI}$ . Установлено, что при малых значениях  $\vartheta_{pl}$  существует точка перегиба в зависимости  $T_{fI}=\psi_1(\vartheta_s)$ .

6. Время обслуживания диалоговых запросов пользователей ЛВС ( $T_{dI}$ ) также существенно зависит от  $V_{IBD}$ . С ростом  $V_{IBD}$  растет и величина отклика  $T_{dI}$  при росте  $\vartheta_{pl}$  для всех значений  $\vartheta_s$ . Отметим, что диапазон изменений  $T_{dI}$  очень широк (от 50 сек до 200 сек). Увеличение скорости сервера также существенно влияет на величину  $T_{dI}$ . При  $\vartheta_s < 2$  значение  $T_{dI}$  может быть больше 120 сек, что указывает на то, что ЦП сервера не справляется с потоком запросов диалоговых пользователей на обслуживание в ЛВС. Итак, наблюдается следующая динамика реализации ВП: интенсивность диалоговых запросов падает, а время обслуживания этих заказов ЛВС существенно возрастает. При  $\vartheta_s > 2$  имеет место линейный характер падения  $T_{dI}$ , который довольно устойчив.

7. Время обслуживания сервером диалоговых запросов пользователей ЛВС ( $T_{dZ}$ ) также существенно зависит от размеров РИБД весьма сложным образом. С одной стороны наблюдается стойкое падение значений  $T_{dZ}$  с ростом  $\vartheta_{pl}$ , но имеется точка перегиба у зависимости  $T_{dZ}=\psi_2(\vartheta_{pl}, \vartheta_s)$  при определенном сочетании скоростей ЦП рабочих узлов и сервера ( $\vartheta_{pl}=1,0$ ;  $\vartheta_s=2,0$ ). Само же  $T_{dZ}$  изменяется в широком диапазоне (от 40 сек до 120 сек). Необходимо отметить и устойчивый характер сочетания времен реакции ЛВС на диалоговые запросы пользователей рабочих узлов и сервера. Например, максимальное значение  $T_{dZ}$  рабочих узлов для всех сочетаний  $\vartheta_{pl}$  и  $\vartheta_s$  в 2 раза больше максимумов  $T_{dZ}$  сервера. Точка перегиба зависимости  $T_{dZ}=\psi_2(\vartheta_{pl}, \vartheta_s)$  определяет и рациональное сочетание скоростей ЦП сервера и рабочих узлов по параметру  $T_{dZ}$  ( $\vartheta_{pl}=1,0$ ;  $\vartheta_s=2,0$ ).

8. Анализ влияния собственно фактора  $V_{IBD}$  на ВП и РН на ЛВС с РИБД позволил сделать ряд дополнительных выводов:

- загрузка ЦП рабочих узлов ( $\eta_{CPI}$ ) для среднего и большого размера РИБД практически одинакова. Поэтому рациональным объемом РИБД следует считать  $V_{IBD}=2000$  единиц;
- коэффициент загрузки ВНП для рабочих узлов ( $\eta_{VNP}$ ) при переходе от малого к остальным размерам РИБД резко возрастает. Причем увеличение  $V_{IBD}$  от среднего до

большого значення практически не сказывается на  $\eta_{\text{ВНП}}$ . Поэтому и для рабочих узлов и для сервера рациональным значением размера РИБД будет:  $V_{\text{ИБД}}=V_{\text{ИБДЗ}}=2000$  единиц;

– времена обслуживания рабочими узлами и сервером фоновых запросов практически не зависят от  $V_{\text{ИБД}}$  и  $V_{\text{ИБДЗ}}$ . Поэтому был сделан вывод, что эти параметры не значимы соответственно для откликов Тф<sub>l</sub> и Тф<sub>з</sub>;

– время обслуживания рабочими узлами ЛВС диалоговых запросов пользователей Тд<sub>l</sub> при изменении  $V_{\text{ИБД}}$  от малого до среднего размера резко возрастает. Далее идет "насыщение" и рост Тд<sub>l</sub> с увеличением  $V_{\text{ИБД}}$  практически не наблюдается. Исходя из этого рациональным для отклика Тд<sub>l</sub> значением  $V_{\text{ИБД}}$  было определено  $V_{\text{ИБД}}=2000$  единиц.

Итак, **общий вывод** состоял в том, что в качестве рациональных параметров ВП и РН на ЛВС с РИБД были выбраны:  $\vartheta_p=1,0$ ;  $\vartheta_s=2,0$ ;  $V_{\text{ИБД}}=2000$  ед.;  $V_{\text{ИБДЗ}}=2000$  ед. Изменение скоростей обработки информации на ЦП<sub>l</sub> сети является очень сильным фактором, обеспечивающим улучшение характеристик ВП и качество обслуживания РН на ЛВС с РИБД.

1. Зайченко Е.Ю. Анализ и синтез структуры глобальных вычислительных сетей.- Київ: ЗАТ "Укрспецмонтажпроект", 1988.- 108с.
2. Вагих М.А. Метод и средства автоматизации имитационного моделирования для оценки надежности характеристик сетей ЭВМ.- Автореф. дис. к.т.н., ГГУ им. Ф.Скорины, 1996.- 22с.
3. Максимей И.В., Левчук В.Д., Жогаль С.П. и др. Задачи и модели исследования операций. Часть 3. Технология имитации на ЭВМ и принятие решений.- Гомель, Бел ГУТ, 1999.- 150с.
4. Агеенко И.В. Метод и средства автоматизации исследования вычислительного процесса информационных систем в локальных вычислительных сетях.- Автореф. дисс. к.т.н. ГГУ им. Ф. Скорины, Гомель, 1999.- 109с.
5. Максимей И.В. Имитационное моделирование на ЭВМ.- М.: Радио и связь, 1988.- 232с.

Гомельский государственный университет имени Франциска Скорины, Гомель, Беларусь

Надійшла 24.10.2001

**Демиденко О.М., Быченко О.В., Максимей И.В., Агеенко И.В. ИМИТАЦИОННОЕ МОДЕЛИРОВАНИЕ ВЫЧИСЛИТЕЛЬНОГО ПРОЦЕССА В ЛОКАЛЬНЫХ ВЫЧИСЛИТЕЛЬНЫХ СЕТЯХ С РАСПРЕДЕЛЕННОЙ БАЗОЙ ДАННЫХ // В якості об'єкту імітації вибрано обчислювальний процес (ОП) с розподіленою інформаційною базою даних (РІБД). Викладаються принципи формалізації ОП і робочої нагрузки (РН) на локальну обчислювану мережу (ЛОМ). Сформульована методика реалізації імітаційних моделей (ІМ) ОП і РН на ЛОМ. Приводяться результати апробації ІМ.**

**Demidenko O.M., Bychenko O.V., Maksimej I.V., Ageenko I.V. IMITATING MODELLING OF COMPUTING PROCESS IN LOCAL COMPUTER NETWORKS WITH THE DISTRIBUTED DATABASE // As object of imitation computing process (CP) with distributed information base (DIBD) is chosen. Principles of formalization CP and working loading (WL) on local area network (LAN) are stated. The technique of realization of imitating models (IM) CP and WL on LAN is formulated. Results of approbation are given by IM.**